

Fehérjék szerkezetének és működésének mikroszkópi vizsgálata II

Osváth Szabolcs

Semmelweis Egyetem
szabolcs.osvath@eok.sote.hu

Egyedi molekulák vizsgálata

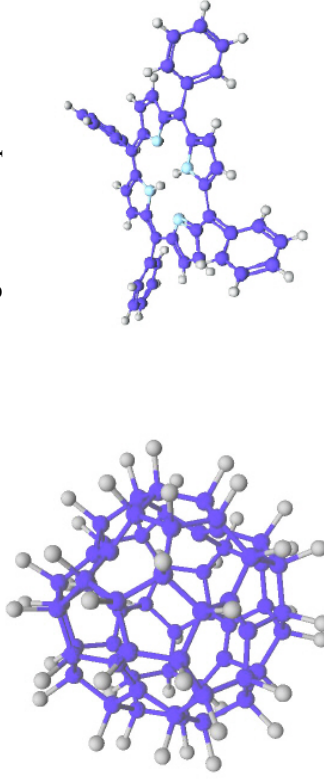
"Plenty of Room at the Bottom"

" The principles of physics, as far as I can see, do not speak against the possibility of maneuvering things atom by atom. It is not an attempt to violate any laws; it is something, in principle, that can be done; but in practice, it has not been done because we are too big."

Richard Feynman, 1959

Hullám-részecske kettőssége

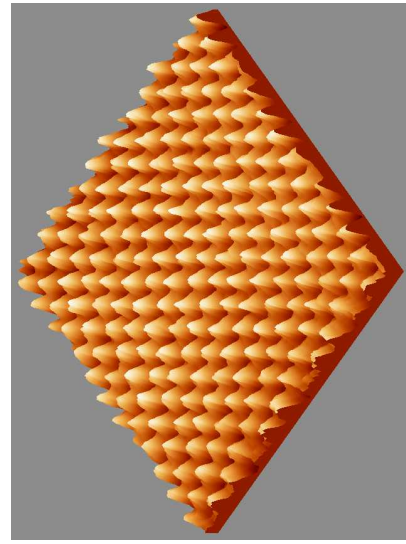
Louis De Broglie: $\lambda = h/p$



fluorfullerén $C_{60}F_{48}$
1632 Da

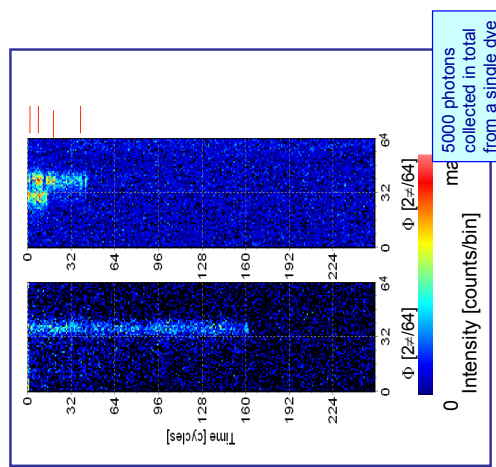
tetrafenilporfirin $C_{44}H_{30}N_4$

Hullám-részecske kettőssége

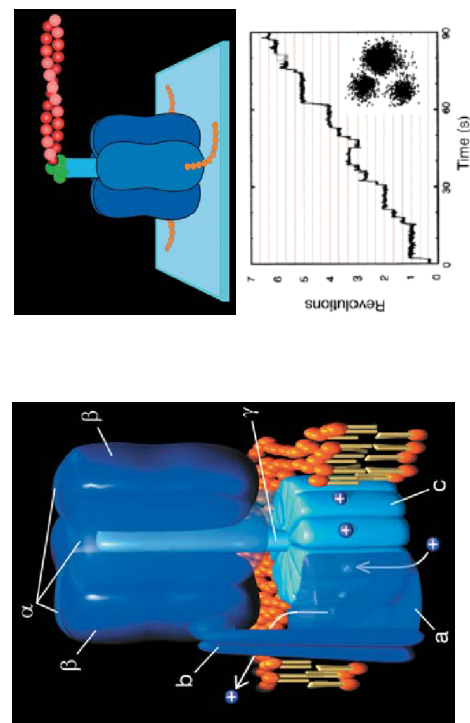


Grafitról készült Pásztázó Alagút mikroszkópi
(Scanning Tunneling Microscope, STM) kép

Egyedi Alexa molekulák kvarc felszínen

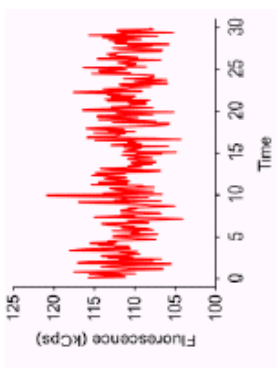


Egyedi F1 motor (ATP szintáz) forgó mozgása



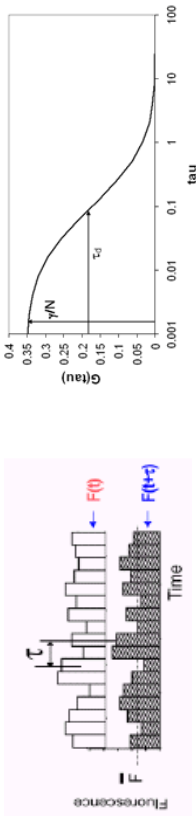
Fluoreszcencia korrelációs spektroszkópia (FCS)

egyensúly körülí fluktuaciók
megfigyelt térrész: Ω
koncentráció: 10 nM
molekulák számának időállaga: 6



Autokorrelációs függvény

$$G(\tau) = \frac{\langle \delta I(t) \delta I(t + \tau) \rangle}{\langle I(t) \rangle^2} = \frac{\langle I(t) I(t + \tau) \rangle}{\langle I(t) \rangle^2} - 1$$



τ_d - a karakterisztikus ideje annak, hogy egy molekula átdiffundáljon a fókusztérifogatban
 γ - a PSF alaki tényezője
N - a fókusztérifogatban lévő átlagos molekulaszám

Mikor mit határozzunk meg

Ligandumkötődés
kis jelölt ligandum+nagy fehérje diffúziós állandó

Aggregáció
jelölt fehérjék dimerei fényesség

Koncentráció
pl. nagy aggregátmok számának megalapítása az oldatban több komponens illesztése, PCH és autokorreláció

Reakciósebesség
autokorreláció illesztése modellel

Diffúzió a sejt belsejében vagy membránban
autokorreláció a megfelelő modellel illesztve

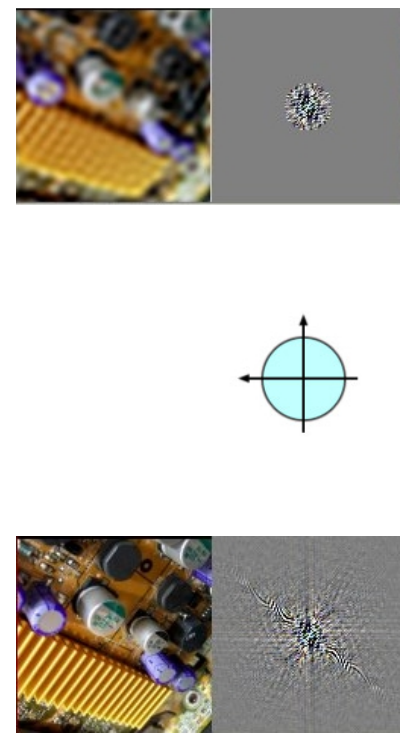
Abbe elv

A mikroszkópban akkor és csak akkor tudunk feloldani két tárgypontot, ha a diffraktálódott fényhullámából a fómaximumon kívül legalább az első rendben elhajlott fény is részt vesz a képalkotásban.

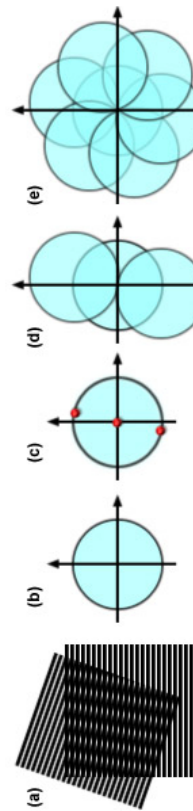
$$\delta = 0,61 \cdot \lambda / (n \cdot \sin\theta)$$

Hallgatólagos feltevések: a minta különböző részeiről egyszerre alkotunk képet; a minta részleteit úgy különbözhetjük meg, hogy a róluk jövő fény a létrejövő képben megkülönböztethető képpontokat (foltokat) ad.

Abbe elv a minta térbeli frekvenciáit szempontjából

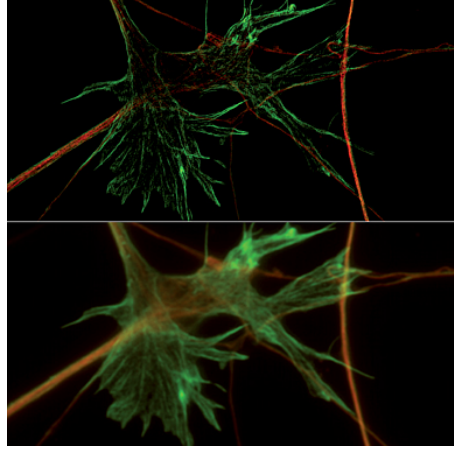


Strukturált megvilágításos mikroszkóp



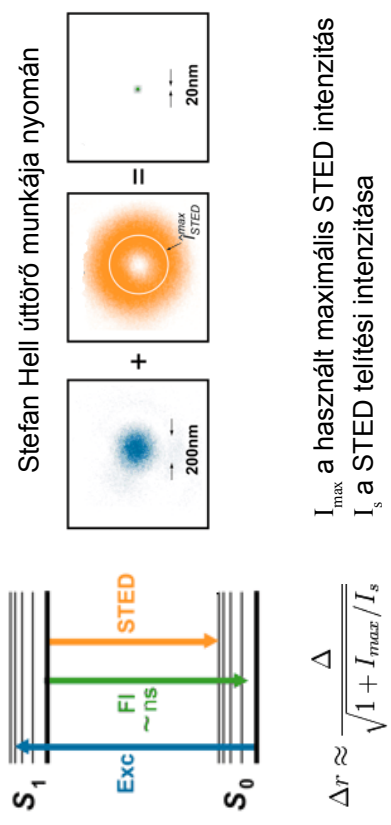
A képben lévő térbeli frekvenciákból a mikroszkóp objektív csak egy szűk tartományt enged át, ami korlátozza a tébeli feloldást.

Strukturált megvilágításos mikroszkóp



Hagyományos (bal) és strukturált megvilágításos mikroszkópi kép (jobb) idegsejtékről.

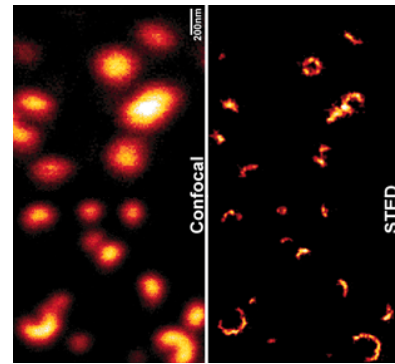
STimulated Emission Depletion (STED) mikroszkóp



$$\Delta r \approx \frac{\Delta}{\sqrt{1 + I_{max}/I_s}}$$

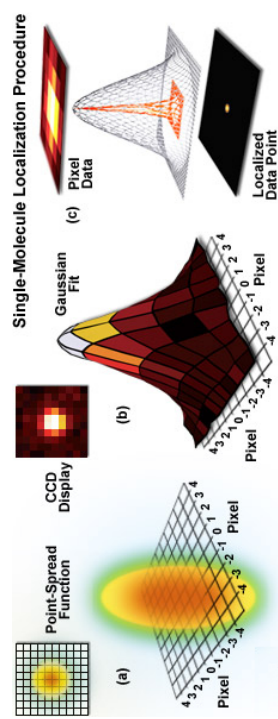
I_{max} a használt maximális STED intenzitás
 I_s a STED telítési intenzitása

STimulated Emission Depletion (STED) mikroszkóp

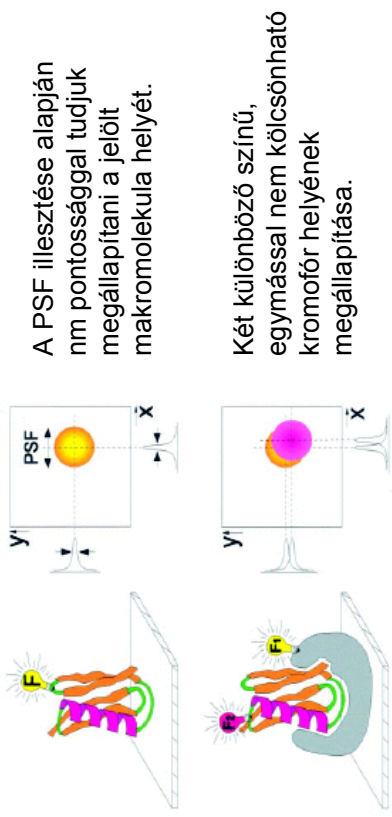


Szinaptolizin szerveződése az újra-hasznosított szinaptikus vezikulákban.

Lokalizáció



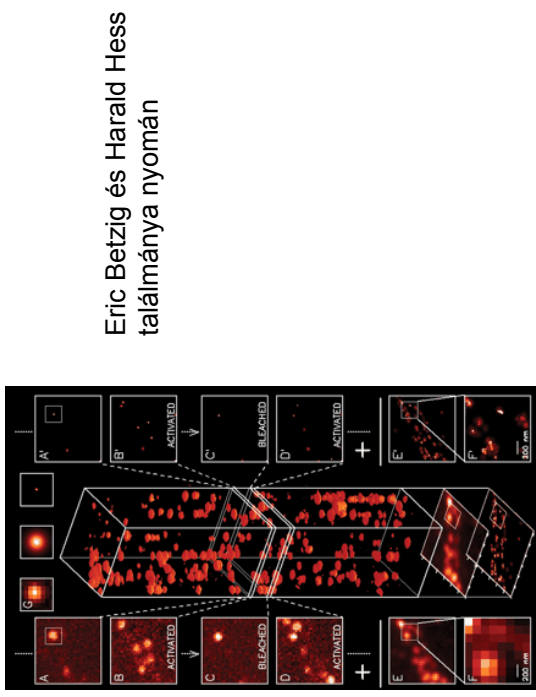
Lokalizáció és kolokalizáció



A PSF illesztése alapján nm pontossággal tudjuk megállapítani a jelölt makromolekula helyét.

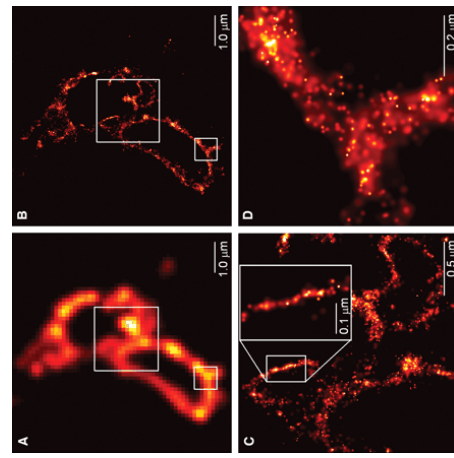
Két különböző színű, egymással nem kölcsönható kromofór helyének megállapítása.

Photo-Activated Localization Microscopy (PALM)



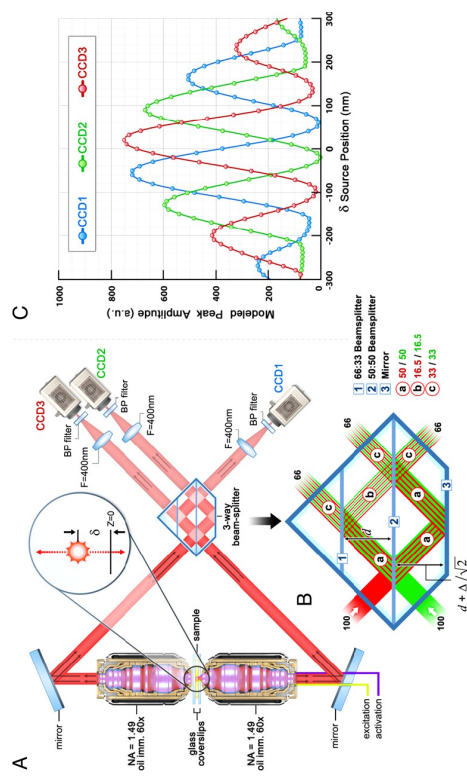
Eric Betzig és Harald Hess találmánya nyomán

Photo-Activated Localization Microscopy (PALM)

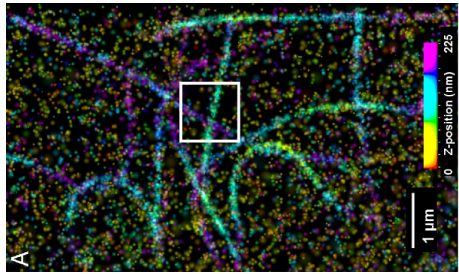


CD63, lizoszóma transzmembrán fehérje

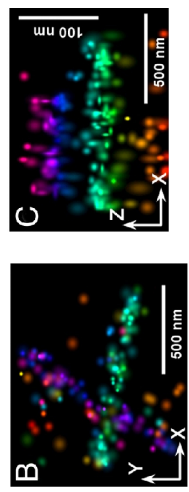
Interferometric Photo-Activated Localization Microscopy (iPALM)



Interferometric Photo-Activated Localization Microscopy (iPALM)



Mikrotubulus szerkezete PtK1 sejtekben, amelyek humán tubulinhoz fuzionált m-KlikGR fluorofort fejeznek ki.



Az elektron mint hullám



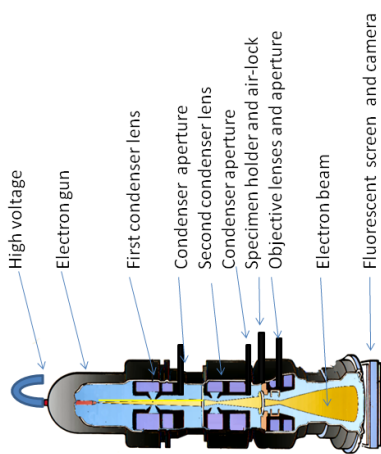
Louis de Broglie:

$$\lambda = h / p$$

λ az elektron hullámhossza
h a Planck állandó
p az elektron impulzusa

Louis-Victor-Pierre-Raymond,
de Broglie hetedik hercege

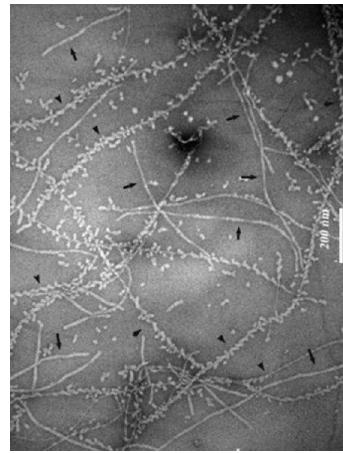
Transzmissziós elektronmikroszkóp



Ruska 1933-ban épült elektronmikroszkópja



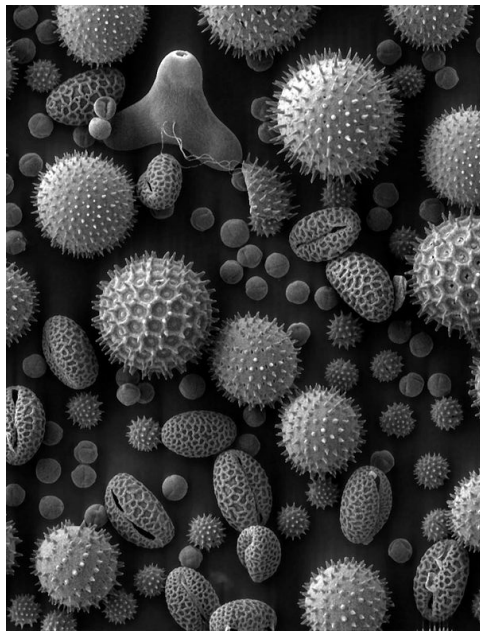
Amiloid szálak transzmissziós elektronmikroszkópi képe



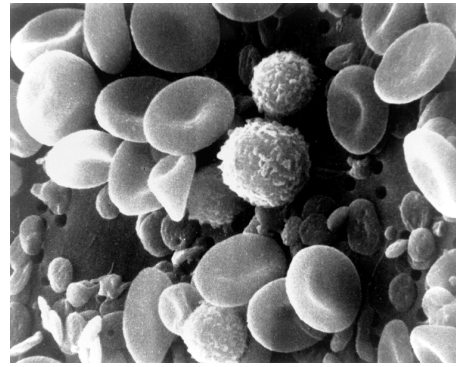
Koleszterin kötődése
amiloid fibrillumokhoz.

Ernst August Friedrich Ruska és Max Knoll készítették az első elektronmikroszkópot 1931-ben. Ruska 1986-ban Nobel díjat kapott az elektronoptika fejlesztése terén elért eredményeiről.

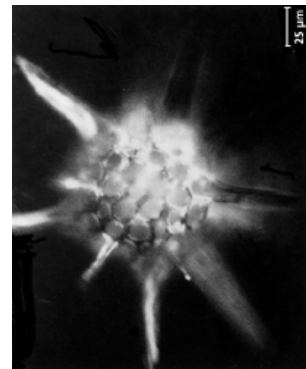
Pollen pásztázó elektronmikroszkópos képe



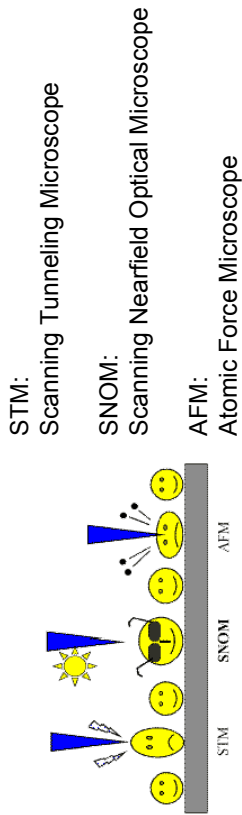
Vérsejtek pásztázó elektronmikroszkópos képe



Optikai- és elektronmikroszkóp összehasonlítása



Pásztázó próba mikroszkópek (Scanning Probe Microscopes)

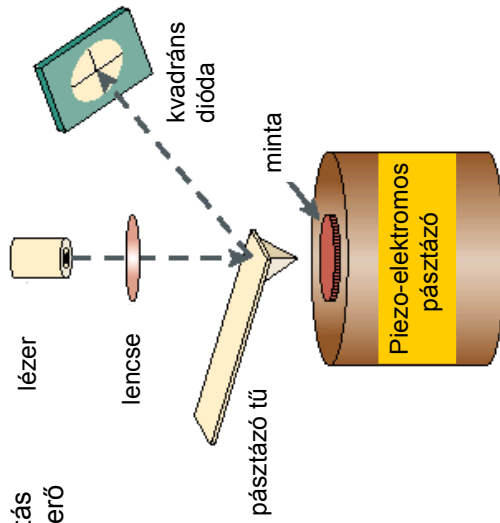


A pásztázó alagúttermoszkópot 1981-ben találta fel Heimrich Rohrer és Gerd K. Binnig. Öt évvel később a munkájukért Nobel díjat kaptak.

- kis mélységelesség
- + nagy mélységelesség
- alacsony felbontás
- + nagy felbontás
- fixált, festett minta
- + élő minta, életfolyamatok
- vákuumban
- + lékgöri nyomáson

Pásztázó Erőméréses Mikroszkóp (Atomic Force Microscope-AFM)

AFM: a mért kölcsönhatás
a hegy és minta közötti erő

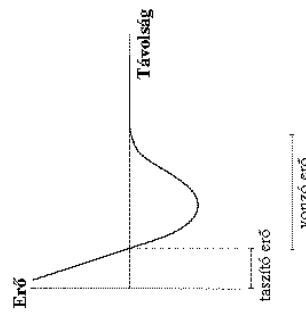
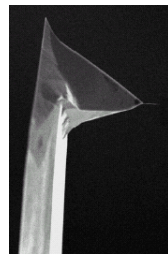


A minta és a tű közötti erő

tipikusan 100 μm hosszú, 1 μm vastag, V alakú tű: szilícium (-oxid, -nitrid), 5 μm a talpánál, 50 nm görbületi sugár a hegyén

- kis rugóállandó

- nagy rezonanciafrekvencia



Contact Mode AFM

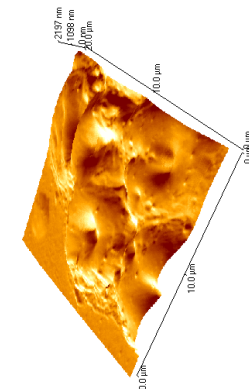
A tű és a minta állandó kontakthusban vannak. A tasztító tartományban dolgozik. A tű a felszínhez adszorbeált folyadékrétegen keresztül érintkezik a mintával. Állandónak tartja az erőt: követi a felszín hullámzását. Piezo kristály z irányú feszültsége állandó: a mérőrugó deformációját detektáljuk. Lokális erő spektroszkópia: a felület egy adott pontjában az erőelmozdulás függvény.

Biológiai mintákról készült AFM képek

Hőscokk fehérféjek



Vörös vérsejtek



Tapping Mode AFM

A tű 20-100 nm-es rezgéseket végez, és minden rezgésnél érinti a felületet. Pásztázás közben az amplitúdó változik ahogyan a felüzen dombságok vannak.